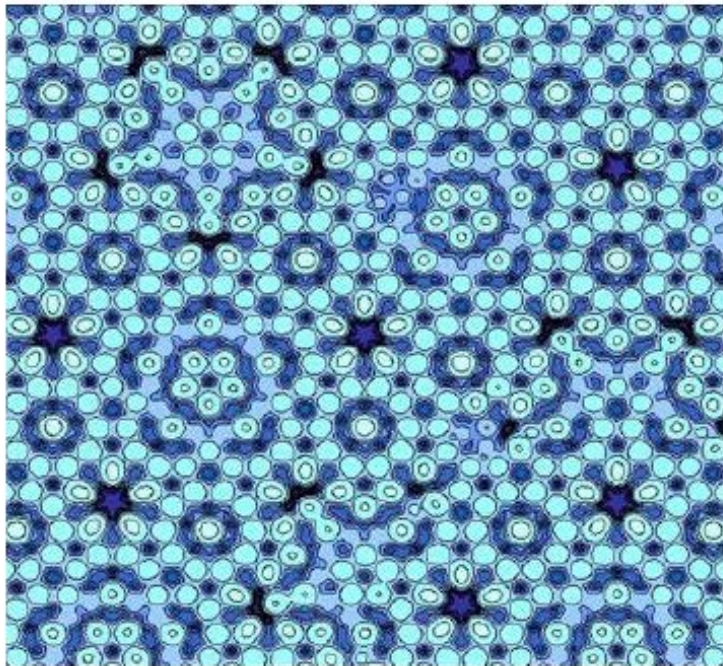


# Nobelpreis 2011 Chemie

Daniel Schechtman  
(Technion Universität Haifa)

Für die Entdeckung der Quasikristalle (1983)



# Raumausfüllung

Johannes Kepler: *Harmonices Mundi* (1619)

Kristallographisch erlaubte  
Symmetrien:

2-, 3-, 4- und 6-zählig

5-zählige Symmetrieachsen:

keine Raumfüllung möglich!

## XVIII. Propositio

Planum locum perfectissimè explent, Plana ejusdem figurae tantum tria, Trigoni seni, Tetragoni quaterni, Hexagoni terni.

<sup>20</sup> Nam per XXXIII primi hujus, Trigoni angulus est 2 tertiae unius recti, sex ergò anguli senum Trigonorum, sunt 12 tertiae, id est, 4 integri. Vide D.

Sic Tetragoni angulus est unus rectus, quatuor ergò quaternorum Tetragonorum anguli, faciunt quatuor rectos. Vide E. Sic Hexagoni angulus est octo sextae unius recti; tres ergò trium figurarum, faciunt 24 sextas, id est, 4 rectos, vide F. F. At Pentagoni angulus est minor Hexagonico; tres ergò sunt minores 4 rectis; tres ergò biant. Idem est major Tetragonico: quatuor ergò Pentagonici sunt majores 4 rectis, ergò non capiuntur in uno loco plano, per XVI hujus. Hac de causa vide H, cum quarto Pentagono punctis signato. Sic Heptagoni, et omnium <sup>H.</sup> <sup>30</sup> majorum figurarum, angulus major est Hexagonico; tres ergò Heptagonici superant 4 rectos. Vide I, ubi duorum Heptagonorum partes in plano tegunt locum <sup>L.</sup> eundem.



## 14.2 Quasikristalle

Shechtman et al. (1984):

Elektronenbeugungsbilder mit kristallographisch verbotener Symmetrie an abgeschreckten  $\text{Al}_{86}\text{Mn}_{14}$ -Proben.

10-zählige Symmetrie des Beugungsbildes

$\Rightarrow$

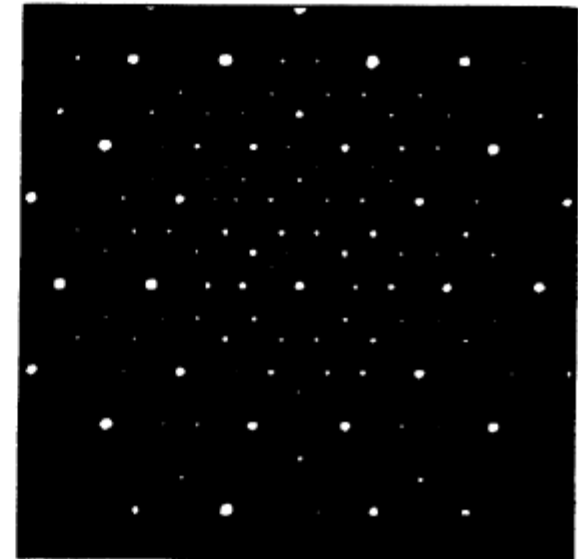
5-zählige Ikosaedersymmetrie im Festkörper

### neue Klasse von Festkörpern: Quasikristalle

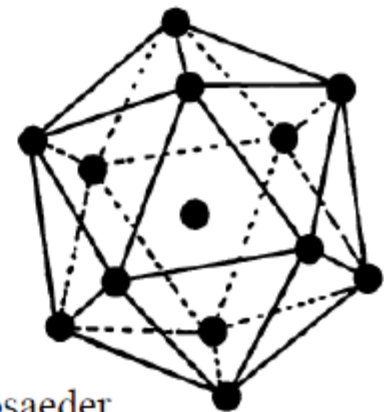
- Eigenschaften von Kristallen (scharfe Beugungsmaxima),
- kristallographisch verbotene Symmetrie

### weitere quasikristalline Systeme

- oktagonale Symmetrie (8-zählig)
- dekadonale Symmetrie (10-zählig)
- dodekadonale Symmetrie (12-zählig)

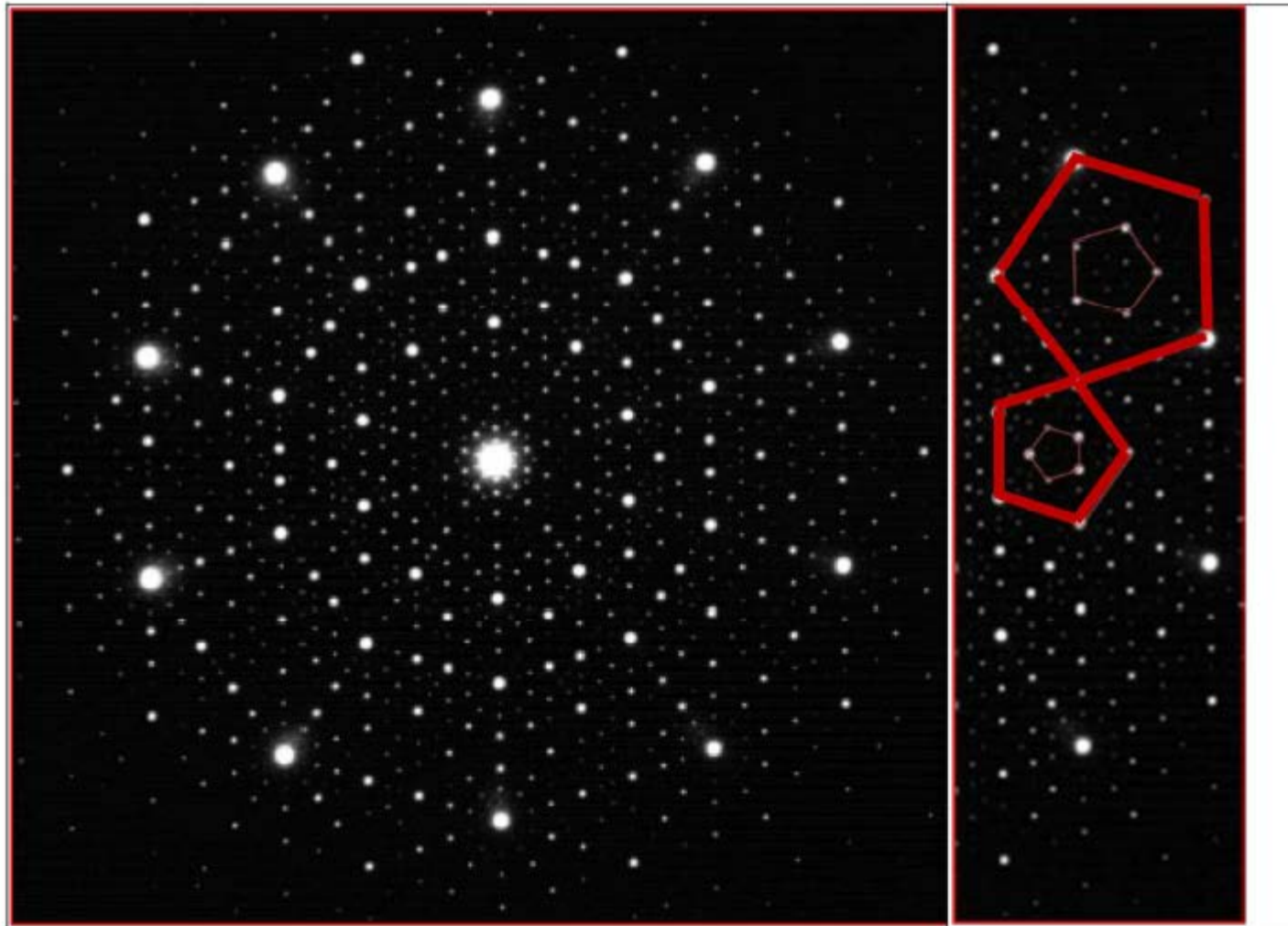


Elektronenbeugungsbild eines ikosaedrischen Quasikristalls in Al-Cu-Fe



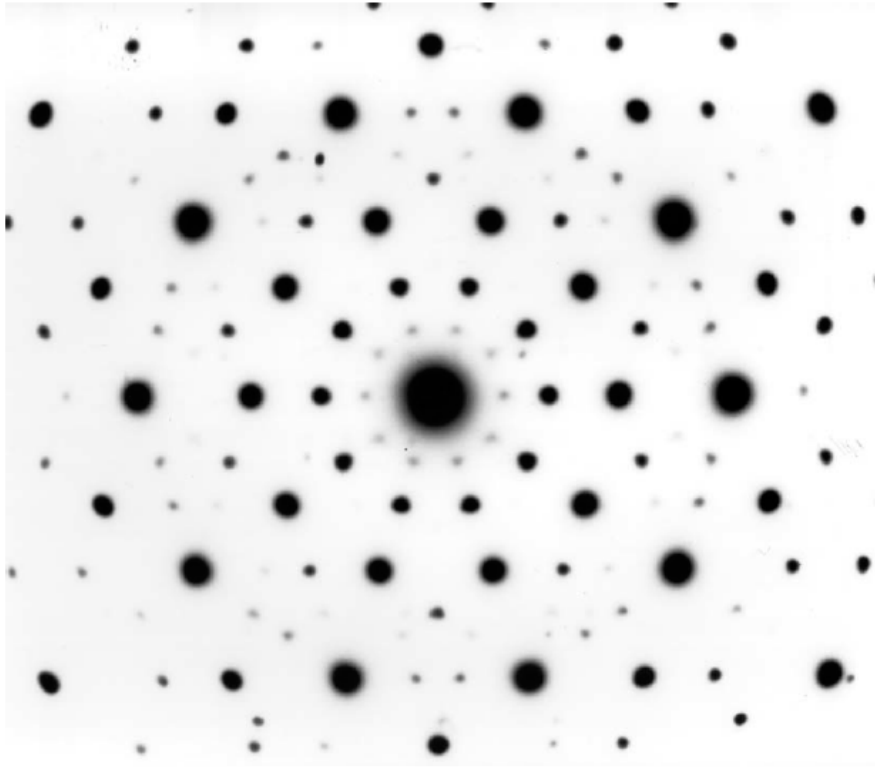
Ikosaeder

# Elektronenbeugung an Ikosaheder





# Entdeckung der Quasikristalle



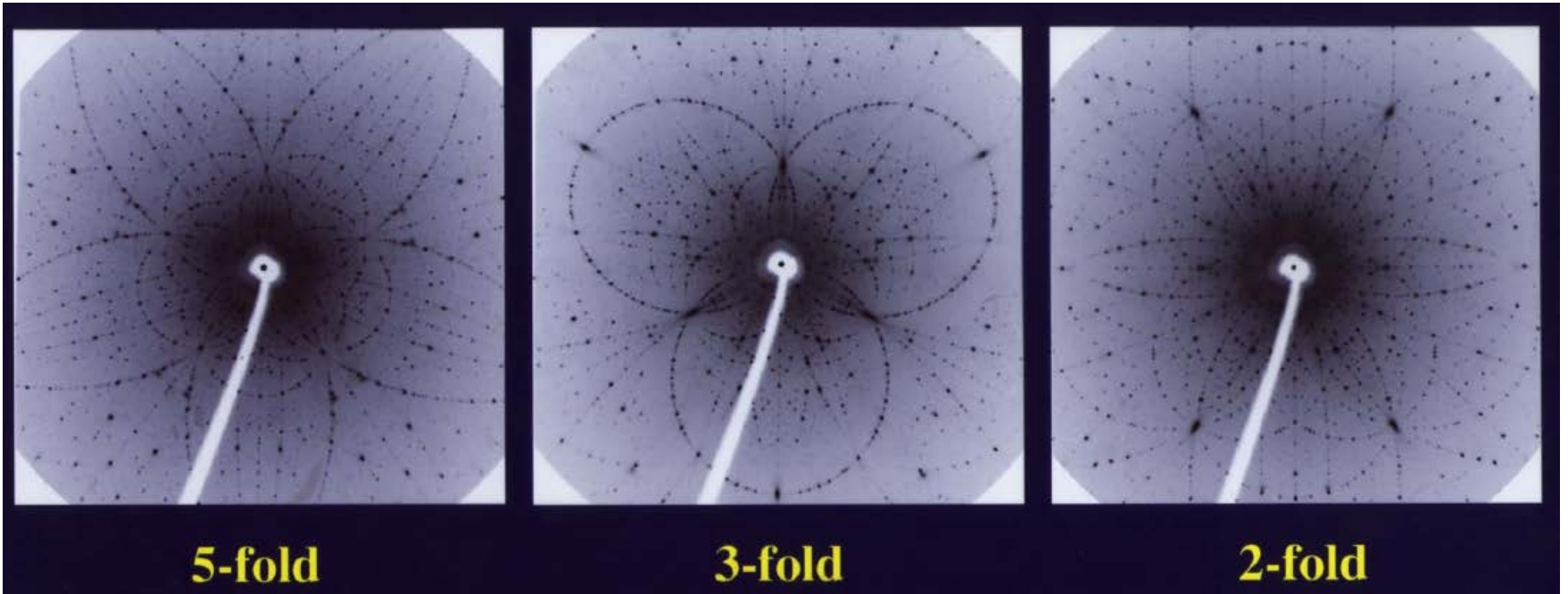
Elektronendiffraktogramm von Al<sub>6</sub>Mn

- 10-zählige Symmetrie
- keine Periodizität
- Abstände der Reflexe im „Goldenen Schnitt“:

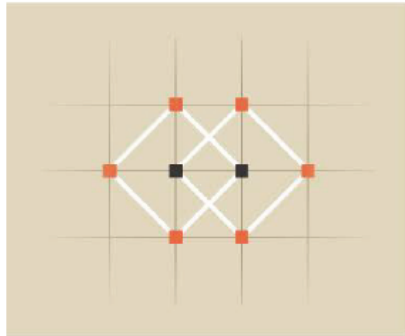
$$\frac{1+\sqrt{5}}{2}$$

- Quasikristalle müssen eine aperiodische, aber geordnete Struktur besitzen

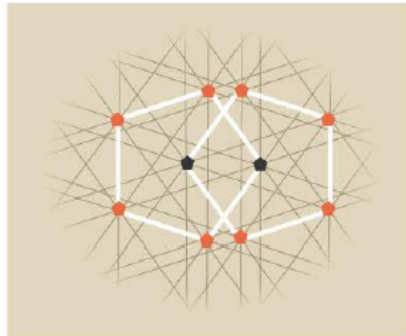
## Lauebeugung an i\_ZnMgHo



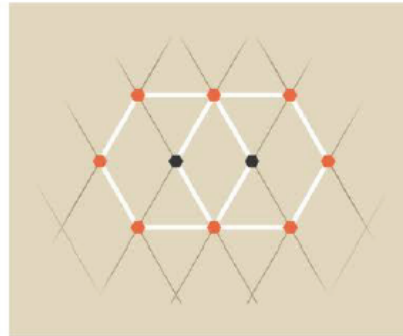
# 5-zählige Symmetrie ?



4-zählig

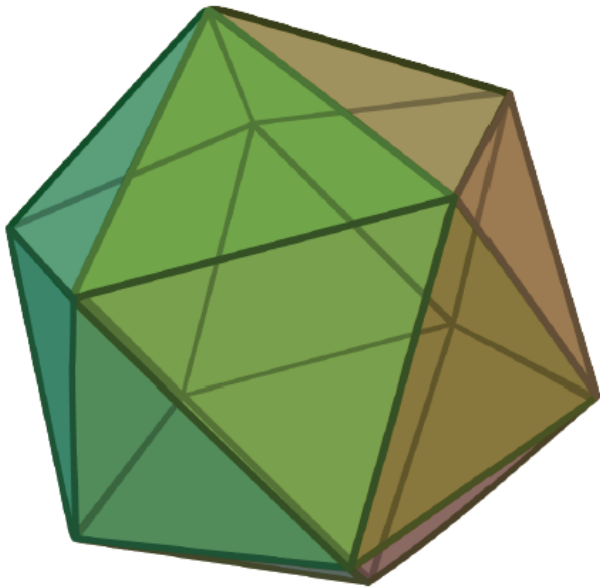


5-zählig

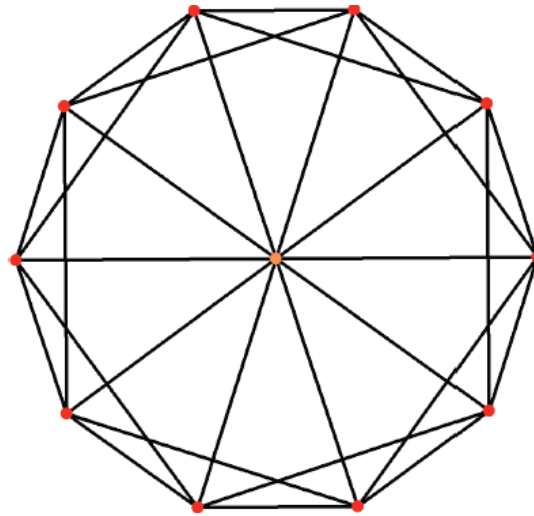
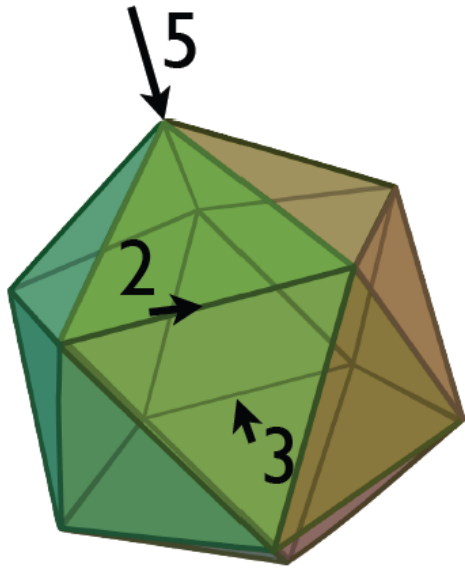


6-zählig

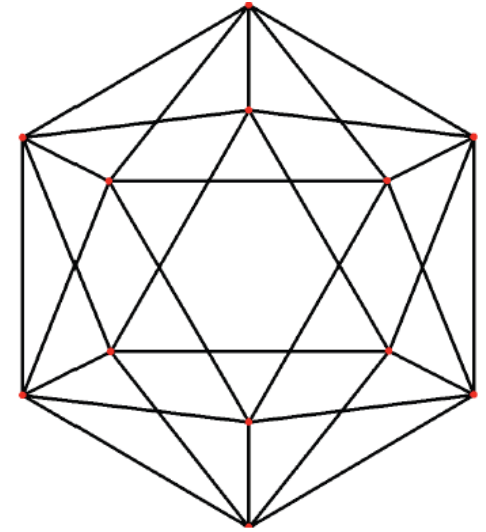
- 5-zählige Symmetrien in periodischem Kristall nicht möglich



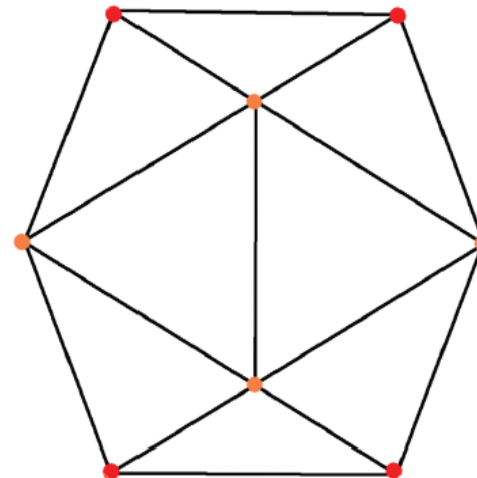
- Ikosaeder besitzt 5-, 3-, und 2-zählige Symmetrie
- lässt sich nicht periodisch anordnen



5-zählig



3-zählig



2-zählig



### **Bauprinzip des Normalkristalls:**

- Kristall ist raumfüllend aus identischen Einheitszellen aufgebaut
- inkompatibel mit nichtkristallografischer, z.B. ikosaedrischer Symmetrie

### **Forderung an ein Bauprinzip eines Quasikristalls:**

- schwächere Ordnungsprinzipien als bei Normalkristallen
- Ordnung hinreichend stark um im reziproken Raum scharfe Beugungsreflexe mit nicht-kristallographischer Symmetrie zu erzeugen

### **Modell des quasiperiodischen Kristalls:**

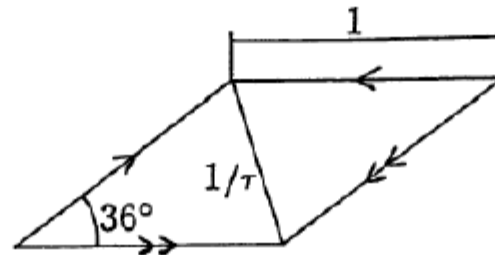
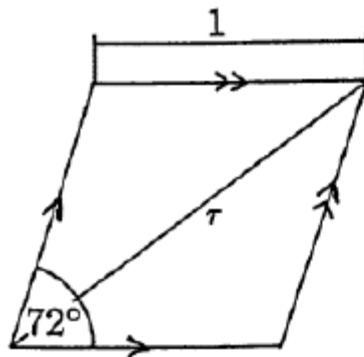
- Quasikristalle sind aus zwei Typen von Bausteinen aufgebaut, die ein raumfüllendes sogenanntes Quasigitter bilden.

## 14.4.1 Das Penrose-Muster (Modell für ein zweidimensionales Quasigitter)

Das Penrosemuster wurde Anfang der 70er Jahre, d.h. vor der Entdeckung der Quasikristalle, von Penrose entwickelt.

### Bausteine des Penrose-Musters:

- zwei rautenförmige Kacheln deren Winkel ganzzahlige Vielfache von  $36^\circ$  sind



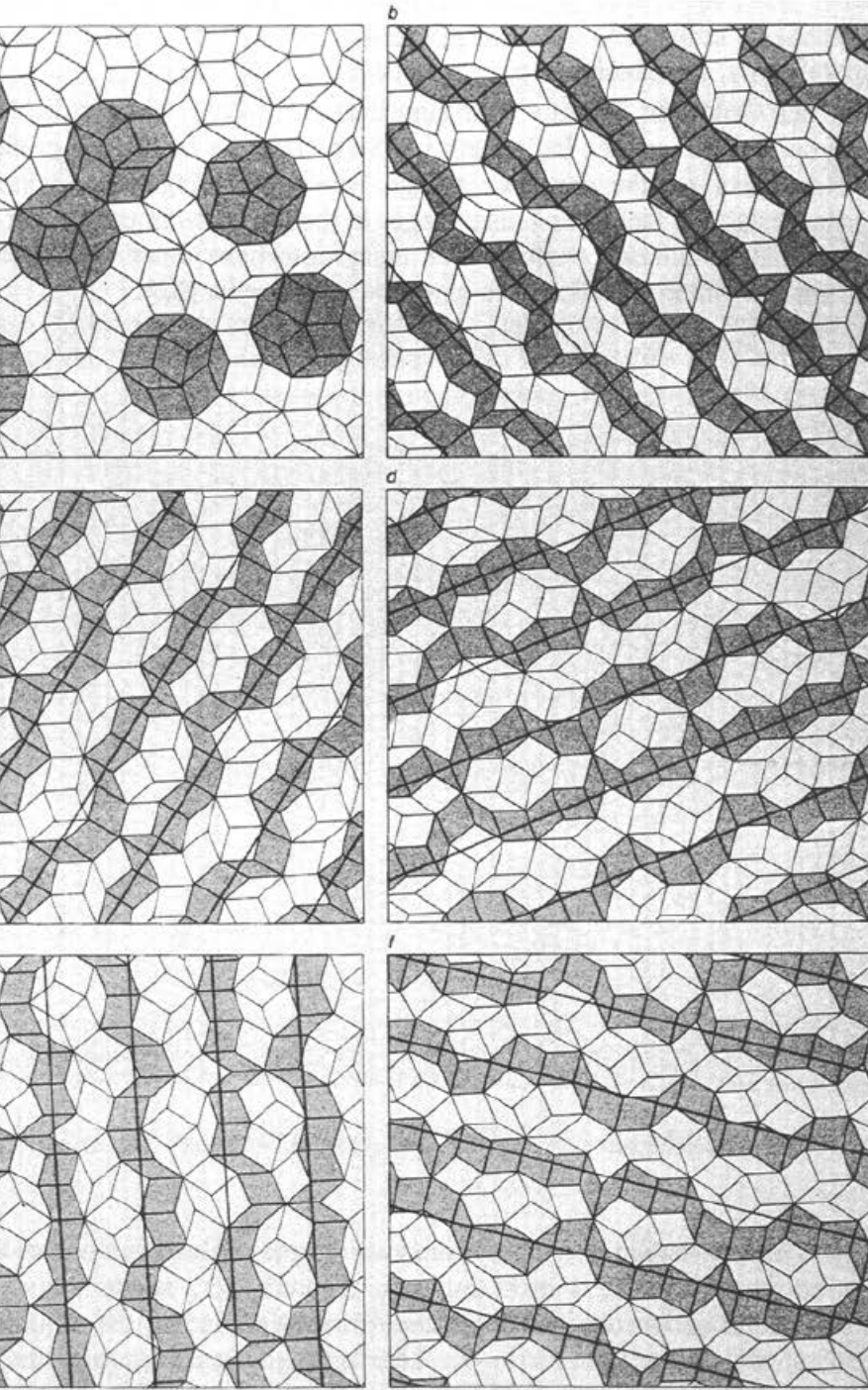
$$\tau = \frac{1}{2}(1 + \sqrt{5})$$

goldener Schnitt

### Aufbauregel:

- Kacheln werden lückenlos derart zusammengefügt, dass zwei aneinandergrenzende Kachelseiten gleichartige Markierungspfeile (Einfach- bzw. Doppelpfeil), die zudem in die gleiche Richtung zeigen, besitzen.

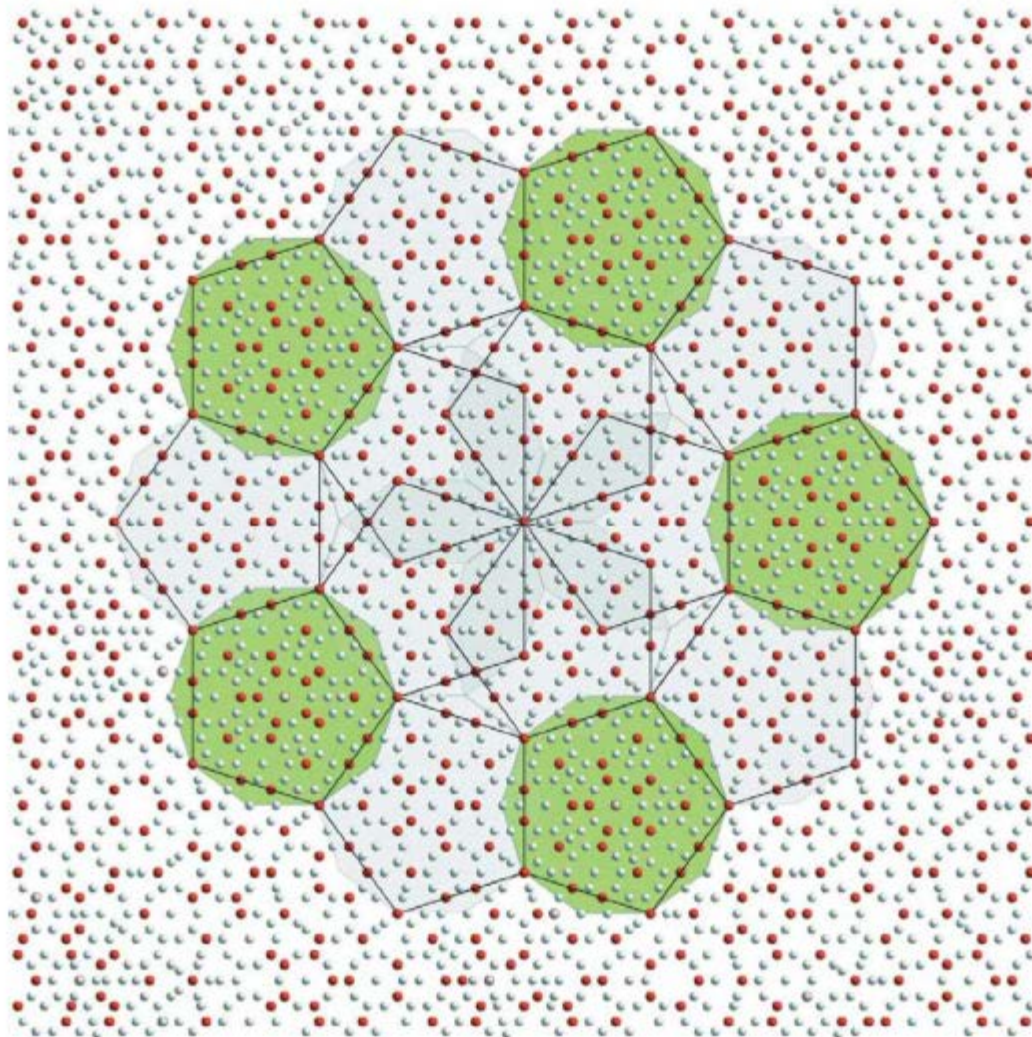




- alle Kanten weisen zu den Ecken eines regelmäßigen Zehnecks  
=> langreichweitige fünf- bzw. zehnzählige Orientierungssymmetrie
- Kacheln mit parallelen Seiten bilden Systeme von unregelmäßigen Streifen ("Würmern"), die eine Scharr von äquidistanten Linien umgeben.
- insgesamt 5 Liniensysteme, die sich unter Winkeln von  $72^\circ$  schneiden
- ähnliche Bedeutung der Liniensysteme im Quasigitter wie Netzebenen in klassischen Kristallen  
(=> scharfe Beugungsreflexe).
- Verhältnis von dicken Rauten zu dünnen Rauten:  $\tau$



# Schnitt durch einen Al-Co-Ni Quasikristall



## **Tiling-Methode (Tile: (engl.) Ziegel):**

Ausfüllung des Parketts mit geeigneten Kacheln bzw. des Raums mit geeigneten Bausteinen nach gewissen Regeln.

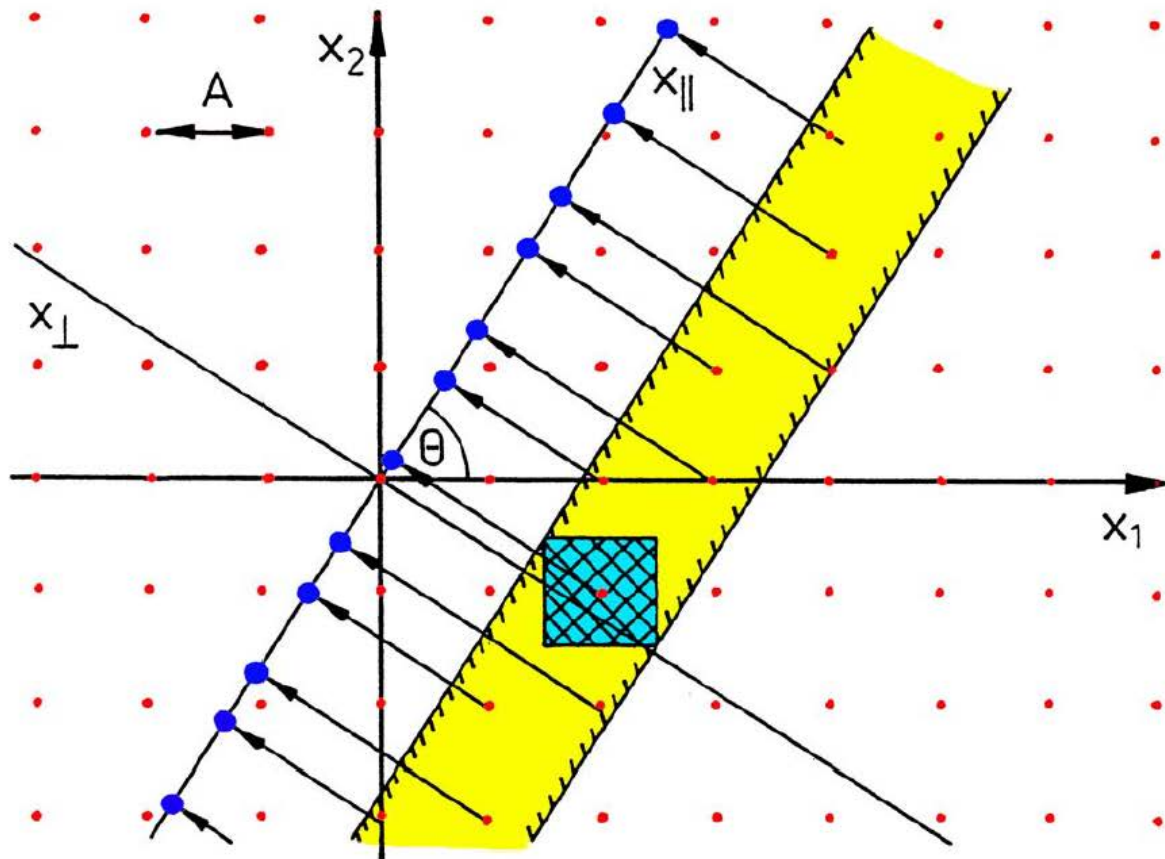
### **Nachteile:**

- unübersichtlich
- In der Praxis kann nur mit endlich großen Ausschnitten aus dem Quasigitter gearbeitet werden.

### **Projektionsmethoden:**

- Quasigitter werden durch Projektion eines höherdimensionalen Translationsgitters in einen Raum mit niedrigerer Dimension erzeugt.
- Mit der Tiling-Methode erzeugte Quasigitter lassen sich mit Hilfe der Projektionsmethode herstellen.





- 1) Ausgangspunkt:  
zweidimensionales  
quadratisches Gitter
- 2.) Gerade  $x_{||}$  einzeichnen  
mit Steigung  $\tau$   
( $\theta = \arctan(\tau)$ )  
 $\tau$ : irrational
- 3.) Streifen der Breite  
 $B=A (\sin(\theta)+\cos(\theta))$   
parallel zu  $x_{||}$  einzeichnen
- 4.) Alle Gitterpunkte inner-  
halb des Streifens auf die  
Gerade projizieren

=> quasiperiodische Struktur bestehend aus kurzen und langen Strecken  
parallel zu  $x_{||}$

# Die Fibonacci Folge als 1D Quasigitter

\* eindimensionales Quasigitter: [Fibonacci Folge](#)

(Leonardo Fibonacci of Pisa (1170-1230))

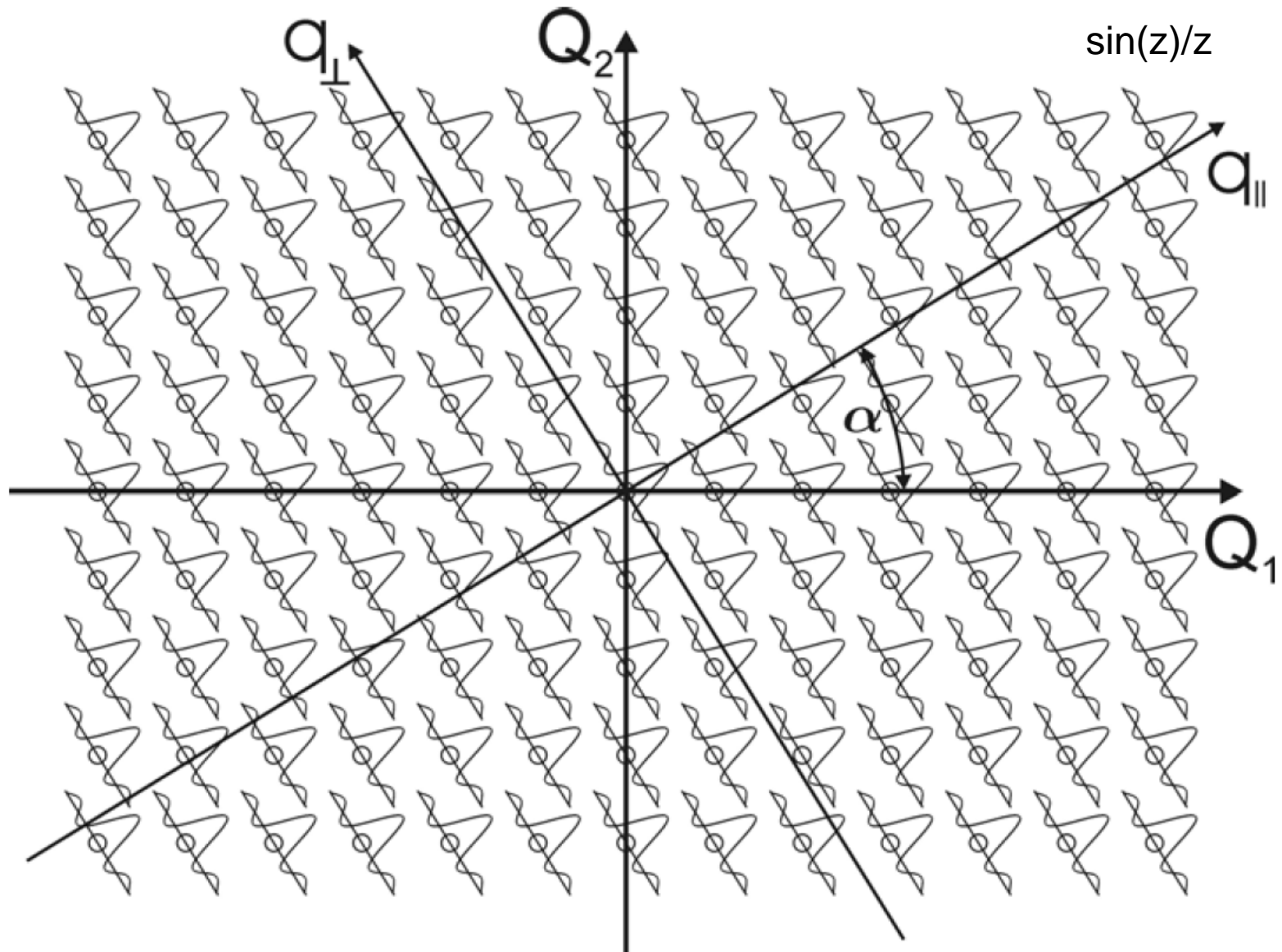


$$a_{m+2} = a_{m+1} + a_m$$

$m \rightarrow \infty$ : Verhältnis der erwachsenen  
zu jungen Kaninchen  $\rightarrow \tau$

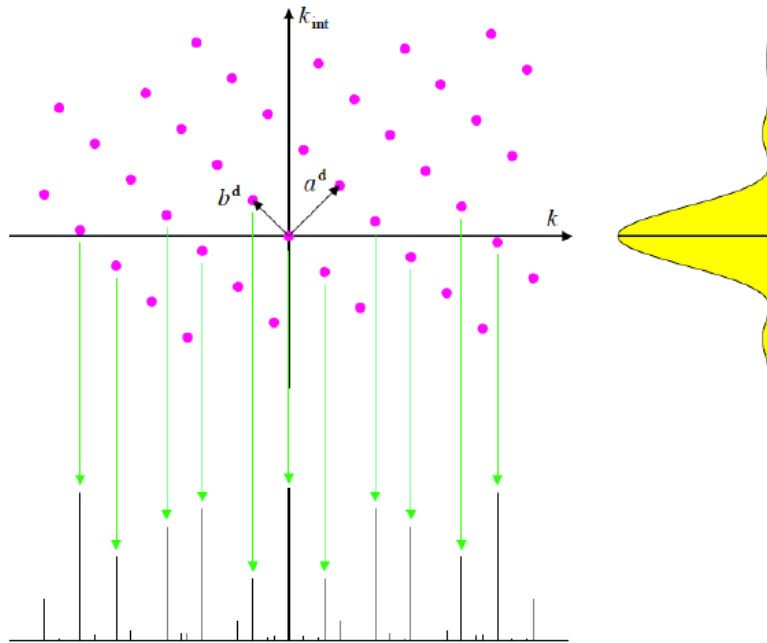
Die Struktur ist selbstaffin (selbstähnlich), aber nicht translations-periodisch !

# Reziprokes Gitter des Quasikristalls



$$\text{FT}(\text{Punktgitter} * \text{Kasten}) = \text{FT}(\text{Punktgitter}) * \text{FT}(\text{Kasten})$$

# Beugung an Quasikristallen



$$\vec{r}_{PC}^* = h\vec{a}_1^* + k\vec{a}_2^* + l\vec{a}_3^*$$

$$\vec{r}_{QC}^* = n_1\vec{a}_1^* + n_2\vec{a}_2^* + n_3\vec{a}_3^* + n_4\vec{a}_4^* + n_5\vec{a}_5^* + n_6\vec{a}_6^*$$

- Beugung für

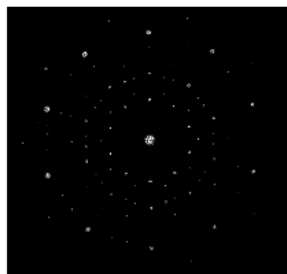
$$\vec{k} - \vec{k}' = \vec{r}^*$$

- unendlich viele Vektoren in einem endlichen Bereich des reziproken Gitters
- in Quasikristallen bilden  $\vec{r}^*$ -Vektoren eine dichte Menge

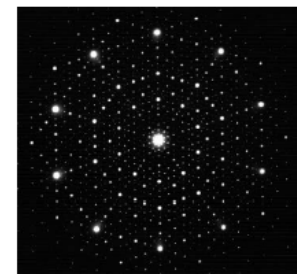
➡ Gleichung immer erfüllt

➡ alle höherdimensionalen Gitterpunkte führen zu Diffraktion

- kontinuierliches Spektrum mit starken Intensitätsunterschieden:



längere Belichtung



# Metastabile und stabile Quasikristalle

- 2 Klassen quasikristalliner Phasen:
- metastabile quasikristalline Phasen
  - stabile quasikristalline Phasen

## Metastabile Quasikristalle

- \* Unterkühlung der Schmelze unter virtuelle Schmelztemperatur der metastabilen Phase bei Herstellung notwendig
- \* geeignete Herstellungsverfahren:
  - schnelles Abschrecken (Schmelzspinnen, Laserschmelzen, Splatkühlen ...)
  - Ausschaltung heterogener Keimstellen (tiegeelfreies Prozessieren)

## Stabile Quasikristalle

- \* Phasen thermodynamisch stabil (nicht notwendigerweise bei Raumtemperatur sondern vielfach Hochtemperaturphasen)
- \* keine tiefe Unterkühlung der Schmelze notwendig
  - => langsame Prozesse nahe am Gleichgewicht möglich (Herstellung großer Einquasikristalle)



# Stabile Quasikristalle

System	Zusammensetzung ca.	Symmetrie
Al-Cu-Fe	$\text{Al}_{62}\text{Cu}_{25.5}\text{Fe}_{12.5}$	ikosaedrisch
Al-Cu-Co	$\text{Al}_{65}\text{Cu}_{20}\text{Co}_{15}$	dekagonal
Al-Ni-Co	$\text{Al}_{65}\text{Ni}_{20}\text{Co}_{15}$	dekagonal
Al-Pd-Mn	$\text{Al}_{72}\text{Pd}_{20}\text{Mn}_8$	ikosaedrisch/dekagonal
Al-Ni-Fe	$\text{Al}_{71}\text{Ni}_{24}\text{Fe}_5$	ikosaedrisch
Cd-Yb	$\text{Cd}_{85}\text{Yb}_{15}$	ikosaedrisch
Ti-Zr-Ni	$\text{Ti}_{45}\text{Zr}_{38}\text{Ni}_{17}$	ikosaedrisch
Zn-Mg-RE (RE=Ho,Dy,Y,Gd,Tb,Er)	$\text{Zn}_{60}\text{Mg}_{30}\text{RE}_{10}$	ikosaedrisch

# Herstellung durch Kristallzucht

## Voraussetzungen:

- \* stabile quasikristalline Phase
- \* Zweiphasengleichgewicht:  
Schmelze - quasikristalline Phase

## Anwendung klassischer Kristallzucht- techniken, z.B.:

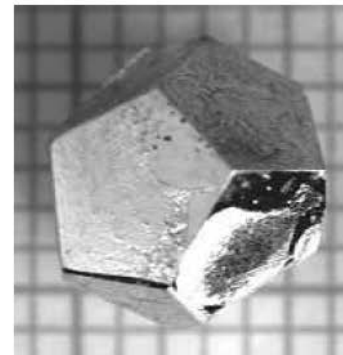
- \* Bridgman-Technik
- \* Czochralski-Verfahren
- \* Flux-growth Technik

## Größe der Einkuasikristalle:

bis zu mehreren Zentimetern



Al-Pd-Mn Einkuasikristall  
(FZ-Jülich, IFF-IMF)



Zn-Mg-Dy  
Einkuasikristall  
(FZ-Jülich, IFF-  
IMF)



Czochralski-  
Züchtung eines  
Einkuasikristalls  
(FZ-Jülich, IFF-  
IMF)

